

III-28 繰返し荷重をうける飽和粘土の間隙水圧

西日本工業大学 正員 安原一哉
西日本工業大学 正員 ○平尾和年

1. まえがき 正規圧密飽和粘土が非排水条件で繰返し荷重をうけることによって、有効応力の低下を招く。従って、繰返し応力負荷による間隙水圧を予測することが、その後の力学的性質を議論するうえで不可欠となる。そこで、本文ではまず、繰返し荷重負荷時の間隙水圧の応力及びひずみ依存性を明らかにすることを主たる目的としている。そのために、繰り返し再圧密された高塑性の海成粘土に対して、一連の繰返し三軸圧縮試験を行い、その可能性について検討してみた。併せて、間隙水圧と表裏一体にある非排水繰返せん断時のダイレイタンシー効果についても調べた。

2. 繰返し三軸圧縮試験

実験に用いた試料は繰り返し再圧密された有明粘土で、その物性は表-1に示す。また、実験は表-2に示す実験条件(応力割離)で所定の回数繰返し応力履歴を与えた。繰返し荷重負荷によって破壊に至らない供試体は、その後引き続き静的な单调増加による非排水せん断($\dot{\epsilon} = 0.1\%/\text{min}$)によって破壊させた。なお、間隙水圧は供試体底面で計測したものである。背圧は拘束圧と等しく負荷し、繰返し試験前にB値のチェックを行った。いずれの試験もB値は0.95以上となっている。

3. 実験結果の考察3.1 繰返し応力負荷時のダイレイタンシー効果¹⁾

いま、前記の試験結果にもとづいて、非排水繰返し応力負荷時のダイレイタンシー相当量を

$$V_d = - \frac{C_c}{1+e_0} \cdot \frac{\Delta p'}{p'} = - \frac{C_c}{1+e_0} \cdot \frac{\Delta p - \Delta u}{p'} \quad \dots \dots (1)$$

で求めると図-1のように整理される。図には、比較のために繰返し応力履歴をうけない供試体の結果も併記している。繰返し履歴をうけない場合、応力比の小さい範囲では、負のダイレイタンシー相当量を示すが、ある応力状態を超える領域では、 V_d は応力比に対して線形関係となり正のダイレイタンシーを示す。一方、繰返し応力履歴をうけた供試体でも、その後のせん断過程ではある応力比を過ぎると履歴をうけない供試体の $V_d - \sigma/p'$ 関係に復帰するような挙動を示すようである。

3.2 間隙水圧-ひずみ関係

繰返し載荷中に累積する残留間隙水圧と残留ひずみの関係を図-2、図-3に示している。図-2は、繰返し応力 $\Delta\sigma_r$ を変化させた結果を整理しているが、繰返し応力の大きい程 残留間隙水圧の累積が著しいことがわかる。また、幾分バラツキはあるが間隙水圧のひずみに対する累積過程は、繰返し応力の影響を強く受けないようである。また、図-3のように間隙水圧のひずみ依存性には、周波数の相異による影響はあまりないと思われる。

表-1 物性					
$G_s = 2.65$					
$W_L = 123\%$					
$I_p = 69$					
$C_c = 0.700$					
$C_s = 0.163$					

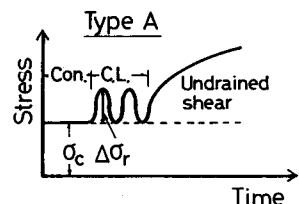


表-2 実験条件

Test no.	O_c (kPa)	ΔO_r (kPa)	N (cycles)	f (Hz)	W_i (%)	B
A-2	200	80	3600	1.0	93.3	0.96
A-3	"	100	"	"	90.6	0.99
A-4	"	120	"	"	93.8	0.97
A-5	"	140	"	"	90.5	0.95
A-7	"	100	172800	.	92.5	0.98
A-13	"	"	3600	0.1	94.1	0.98
A-14	"	"	"	3	95.0	0.97

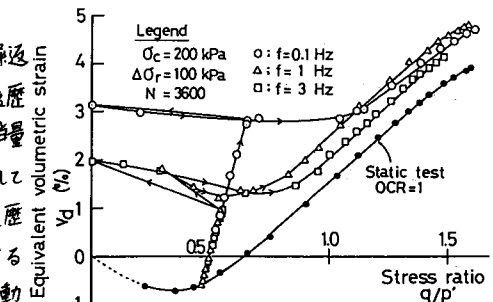


図-1 ダイレイタンシーと応力比の関係

図-2、図-3を総合すると、繰返し荷重負荷中の飽和粘土供試体の残留間隙水圧と残留ひずみとの間に、繰返し荷重強度や周波数に依存しない一義的な関係があるようであり、動的間隙水圧を論ずる上で重要な手掛りとなりそうだ。

3.3 間隙水圧の時間的変化

間隙水圧の経時変化の予測として、Seed³⁾によって飽和砂の非排水繰返し単純せん断試験の結果より提案された經験式は

$$\frac{(\Delta u)_{cy}}{\sigma_c} = \frac{2}{\pi} \sin^{-1} \left\{ \left(\frac{N}{N_f} \right)^{\frac{1}{2\delta}} \right\} \dots (2) \quad N_f: 繰返し回数$$

である。この(2)式の N_f を $\Delta u_p / \Delta u - \log N$ 関係より外挿によって求めた収束回数 N_f に置換えると(2)式は

$$\frac{(\Delta u)_{cy}}{\sigma_c} = \frac{2}{\pi} \sin^{-1} \left\{ \left(\frac{N}{N_f} \right)^{\frac{1}{2\delta}} \right\} \dots (3)$$

となる。この飽和砂に対して得られた予測式を大胆であるが、試みとして飽和粘土の結果へフィッティングすると図-4、図-5のようになる。図-4では、長い載荷回数の実験について係数 δ を1.ラメータとして計算曲線を記入しているが、実験値と計算曲線との対応は、前半でその傾向はよく近似している。しかし、載荷回数が累積してくると計算値との差異が著しく、残留間隙水圧の時間的変化は(3)式で予測することが難しいようである。また、載荷回数の比較的小ないデータでの整合性をみると図-5にまとめられたように、係数 δ を変えてフィッティングしているが、全体にわたっての整合性は今一つのようである。

4. あとがき

繰返し応力履歴をうける飽和粘土の間隙水圧について若干の考察を行った結果、i) 繰返し載荷後のダイレイテンシー挙動は、ある応力レベルを過ぎた後は履歴をうけない場合の $V_d - \sigma'$ 曲線に復帰する傾向がある。ii) 残留間隙水圧-残留ひずみの間に、繰返し応力・周波数に無関係なユニークな関係がありそうである。iii) 間隙水圧の経時変化について飽和砂に関する予測式の適用を試みたが、繰返し載荷中の間隙水圧-ひずみ関係を長時間にわたっては良く説明しえる結果とはならず、今後に課題と残す結果となつた。

- 引用文献
- 1) Yasuhara et al. "Cyclic strength and deformation of normally-consolidated clay" (closure) (1984): Soils and Foundations, Vol. 24, No. 1 (to be appeared)
 - 2) Yasuhara et al. (1983): Cyclic stress-strain and strength performance of soft clay, Proc. MIT Symp.
 - 3) Seed, B.H. et al. (1977): Stabilization of potentially liquefiable sand deposits using gravel drains, Proc. ASCE, Vol. 103, No. GT7, pp. 757-768.

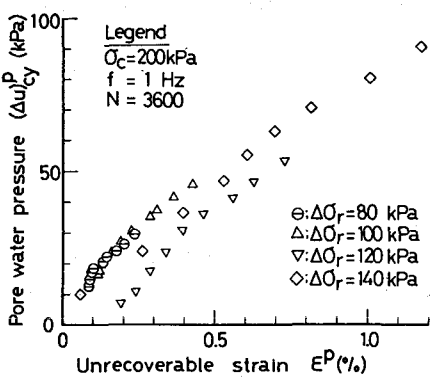


図-2 繰返し載荷中の残留間隙水圧と残留ひずみ

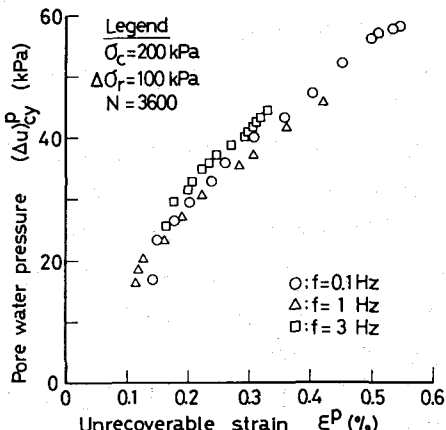


図-3 繰返し載荷中の残留間隙水圧と残留ひずみ

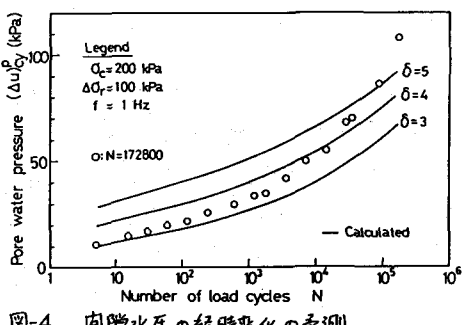


図-4 間隙水圧の経時変化の予測

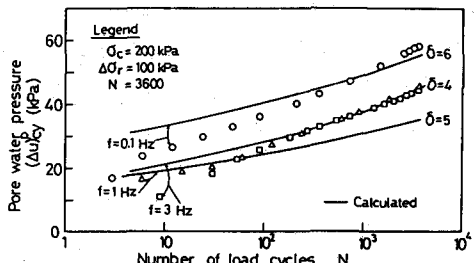


図-5 間隙水圧の予測